

# Classificação Logística de uma Base de Dados Numérica com recurso a Pooling

Henrique José Carvalho Faria n<sup>o</sup>82200

<sup>1</sup> Departamento de Informática

<sup>2</sup> Departamento de Matemática, Universidade do Minho

## **Glossário**

DVAP - Diagonal and Vertical Average Pooling  
DVMCP - Diagonal and Vertical Max Centered Pooling  
DVMP - Diagonal and Vertical Max Pooling  
DVMAP - Diagonal and Vertical Min Average Pooling

## 1 Introdução

Neste trabalho será implementado um classificador logístico para classificar uma base de dados binária. Com recurso a este classificador logístico pretende-se verificar a separabilidade linear do dataset. Adicionalmente também se pretende avaliar a eficácia da técnica de pooling no reconhecimento de imagens. O pooling será analisado segundo duas vertentes, sendo a primeira a redução dimensional das imagens do dataset e a segunda a escolha de um filtro bem parametrizado que permita separar o ruído da informação útil presente na imagem. Em seguida explicar-se-á em que consiste a base de dados referida, o que é um classificador logístico, em que consiste o pooling e as metodologias utilizadas no mesmo.

### 1.1 Base de dados

Uma base de dados é uma sequência de eventos ( $e$ ), a sua expressão genérica é a seguinte:

$D = (e^n)_{n=1}^N$ , em que  $N$  é o número total de eventos em consideração.

Um evento ( $e$ ) é composto por duas categorias, a primeira categoria refere-se aos dados de input ou seja aos atributos denominados  $X$  e a segunda categoria, denominada  $y$ , trata-se da label dado que corresponde ao output. A expressão genérica de um evento é a seguinte:

$$e = (X, y)$$

Tratando-se um evento de um par (imagem, label) o número total de atributos da imagem de um evento corresponde ao produto do número de linhas pelo número de colunas da mesma. Note-se ainda que como  $X$  representa uma imagem cada um dos seus constituintes é um valor inteiro entre 0 e 255 que representa o nível de cinzento de um pixel.

### 1.2 Classificador logístico

A regressão logística é um método de classificação simples e poderoso que pode ser utilizado na separação de dados binários. Um classificador logístico trata-se portanto de uma "*machine learning*" cuja arquitetura permite receber na entrada um vetor  $X^m$ , de tamanho  $I$  e devolve um valor  $\hat{y}$  no domínio  $[0,1]$  representando a probabilidade dessa imagem pertencer à classe  $y$ ,  $y \in \{0,1\}$  [2,5]. Os seguintes passos mostram a construção da formula que corresponde a esta operação:

O primeiro passo passa por definir o vetor  $X^m$  como o vetor que possui os  $I$

pixels da imagem  $m$  do dataset.

$$X^m = X_i^m, i = 1, \dots, I$$

O segundo passo passa por definir  $\theta$  (vetor de pesos) como:

$$\theta = (\theta_i), i = 0, \dots, I$$

Assim, o produto de  $\theta$  por  $X$  pode ser definido como[2,3]:

$$\theta^T X = \sum_{i=1}^I (\theta_i X_i).$$

Desta forma a formula correspondente a esta operação fica totalmente definida como[2]:

$\hat{y} = f(X) = \sigma(\theta_0 + \theta^T X)$ , em que  $\theta$  representa o vetor de pesos e  $\sigma$  representa a função sigmoid.

Como a regressão logística prevê valores entre 0 e 1 é necessária uma função que mapeie o nosso domínio de input  $\mathbb{R}$  para o domínio de output  $[0,1]$ . Esta operação é realizada recorrendo á função sigmoid que converte os valores recebidos para o domínio pretendido[2]:

$$\sigma(z) = \frac{1}{1+e^{-z}}$$

As probabilidades das duas classes são portanto modeladas como

$$Pr\{y = 1|z\} = \frac{1}{1+e^{-z}}$$

e

$$Pr\{y = 0|z\} = 1 - \sigma(z) = \frac{e^{-z}}{1+e^{-z}}$$

A representação gráfica desta função pode ser vista como:

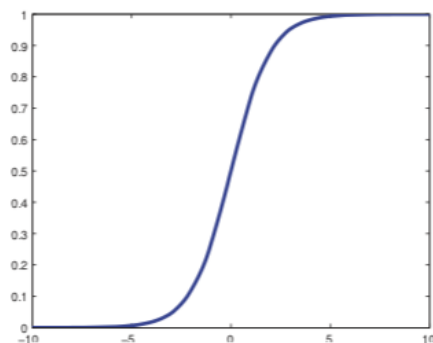


Figura 1: Gráfico da função sigmoid

### 1.2.1 Função Custo

A função custo tem como objetivo quantificar a diferença entre o valor real e a predição. Esta função utiliza um vetor de pesos  $\theta$ , um vetor representativo da imagem  $X$  e o valor da label associada a essa imagem  $y$ . Esta função começa por invocar um classificador logístico para obter uma predição  $\hat{y}$ . De seguida fazendo uso dos valores de  $y$  e da probabilidade calculada da imagem pertencer a essa mesma classe  $\hat{y}$  a diferença entre o valor real e o previsto é calculada da seguinte forma:

$E(\theta; e) = y * \log_{\epsilon}(\hat{y}) + (1 - y) * \log_{\epsilon}(1 - \hat{y})$ , em que  $e$  é um evento composto por um par  $(X, y)$  respetivamente um vetor representativo de uma imagem e a label associada.

Como esta função é aplicada a toda a base de dados podemos generalizar a formula anterior para:

$$E(\theta; BaseDeDados) = \frac{\sum_{n=0}^N y * \log_{\epsilon}(\hat{y}) + (1 - y) * \log_{\epsilon}(1 - \hat{y})}{N}$$

O vetor de pesos ( $\theta$ ) ótimo é obtido através da minimização de uma função de custos que quantifica o erro entre a classe real e a sua predição. O  $\theta$  ideal é aquele que maximiza a probabilidade dos dados observados e denomina-se  $\bar{\theta}$ .

### 1.2.2 Atualização dos pesos

Para realizar a atualização dos pesos em classificadores logísticos é comum utilizar o método do gradiente, também chamado de método do declive que é utilizado para otimização. Para encontrar um mínimo local de uma função utiliza-se um esquema iterativo onde em cada passo se escolhe a direção negativa do gradiente a qual corresponde à direção de declive máximo. As seguintes definições explicam o processo de update dos pesos.

Seja  $\theta^0$  o vetor de pesos inicial e  $\tau$  o learning rate usado pelo classificador logístico. Adicionalmente definimos  $G$  como sendo a diferença entre o valor real  $y$  e o valor da predição  $\hat{y}$ .

$$G = |y - \hat{y}|$$

A atualização dos pesos de  $\theta^k$  para  $\theta^{k+1}$  é feita então em duas etapas. A primeira atualiza a primeira componente  $\theta_0$ , e a segunda atualiza as restantes componentes de  $\theta$ [2,4].

Relembrando as formulas anteriormente usadas para definir  $\theta$  e o vetor de pixels  $X^m$  temos:

$$X^m = X_i^m, i = 1, \dots, I$$

$$\theta = (\theta_i), i = 0, \dots, I$$

As formulas que mostram a atualização dos pesos definem-se como:

$$\theta_0(k+1) = \theta_0(k) + G\tau$$

$$\theta_i(k+1) = \theta_i(k) + G\tau X_i, i = 1, \dots, I$$

Esta atualização de pesos é realizada  $k$  vezes e quando  $k$  tende para  $\infty$ ,  $\theta^k$  tende para  $\bar{\theta}$  que corresponde ao array de pesos que minimizam o erro[2]. Em notação simplificada:  $k \rightarrow \infty \Rightarrow \theta^k \rightarrow \bar{\theta}$ .

### 1.3 Matriz de Confusão

A matriz de confusão é uma ferramenta muito utilizada em avaliações de modelos de previsão e é composta por quatro campos a saber[9]:

- Verdadeiro positivo (VP)

Ocorre quando no conjunto real, a classe que pretendemos prever foi prevista corretamente.

- Verdadeiro negativo (VN)

Ocorre quando no conjunto real, a classe que pretendemos prever foi prevista incorretamente.

- Falso positivo (FP)

Ocorre quando no conjunto real, a classe que não pretendemos prever foi prevista corretamente.

- Falso negativo (FN)

Ocorre quando no conjunto real, a classe que não pretendemos prever foi prevista incorretamente.

A partir desta matriz podem-se calcular alguns valores importantes para avaliar a qualidade de predição do nosso modelo, esses valores são[9]:

- Accuracy

Indica a taxa de sucesso das predições realizadas.

$$Accuracy = \frac{VP+FP}{VP+VN+FP+FN}$$

- Recall

Indica a proporção de valores positivos corretamente identificados. Trata-se de uma boa métrica a aplicar em casos em que os Falsos Negativos são considerados mais prejudiciais que os Falsos Positivos.

$$Recall = \frac{VP}{VP+FN}$$

- Precisão

Indica a percentagem de classificações positivas corretamente classificadas. Trata-se de uma boa métrica a aplicar em casos em que os Falsos Positivos são considerados mais prejudiciais do que os Falsos Negativos.

$$Precisão = \frac{VP}{VP+FP}$$

## – F-score

Esta métrica é uma média balanceada entre as métricas Recall e Precisão.

$$Fscore = 2 * \frac{Precisão * Recall}{Precisão + Recall}$$

Como exemplo de utilização desta matriz seja o array  $Y$  o array de labels com os valores reais e seja  $\hat{Y}$  o array de labels obtidas usando o classificador logístico, tendo ambos tamanho  $N$ . Convém referir que caso o resultado de  $\hat{y}(X^m, \theta) < 0.5$  a label  $\hat{Y}_m$ , correspondente à imagem  $X^m$ , será 0 e caso contrário será 1, uma vez que este indica a probabilidade de ser uma label e não a label em si[2,3]. Assim a matriz de confusão será criada contabilizando em cada campo os valores que respeitarem as restrições apresentadas:

| Previsto \ Real | Verdadeiro   | Falso  |
|-----------------|--|--|
| Verdadeiro      | $Y_n == 1 \wedge \hat{Y}_n == 1, \forall n \in [0, N]$ | $Y_n == 1 \wedge \hat{Y}_n == 0, \forall n \in [0, N]$ |
| Falso           | $Y_n == 0 \wedge \hat{Y}_n == 1, \forall n \in [0, N]$ | $Y_n == 0 \wedge \hat{Y}_n == 0, \forall n \in [0, N]$ |

## 2 Pooling

Muitas vezes uma base de dados de imagens com imagens muito grandes (com um elevado número de pixels a serem processados) torna o processo de previsão, análise de custos e update de pesos bastante demorado[8].

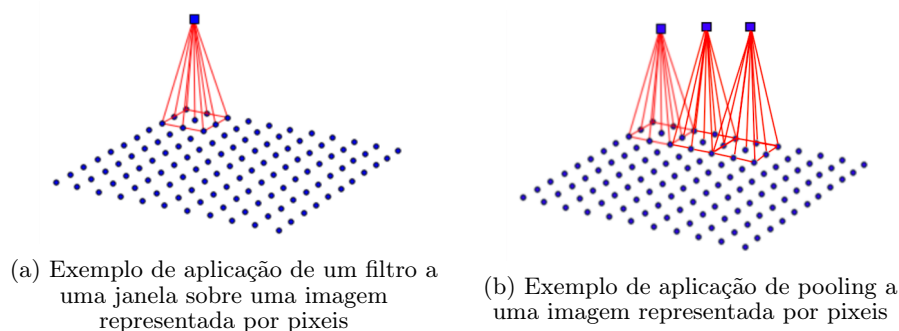
A técnica de pooling permite dividir uma imagem em várias mais pequenas através de uma janela deslizante e aplicar um filtro a cada uma de forma a remover o ruído, manter a informação útil e reduzir a dimensão da imagem a analisar[8].

Seja  $B$  uma imagem composta por pixels a ser processada por pooling e  $A$  uma janela deslizante, com dimensões inferiores a  $B$ , a ser usada no processo, isto é o número de pixels da janela  $A$  é inferior ao número de pixels de  $B$ .

O deslize da janela  $A$  sobre a imagem original é determinado por um stride horizontal e um stride vertical. A cada sub-imagem obtida pela aplicação de  $A$  a  $B$  é posteriormente aplicado um filtro que permite obter um valor a partir dos pixels existentes na sub-imagem, este processo denomina-se pooling. No final, juntando todos os resultados obtidos pelo filtro, obtemos uma imagem reduzida  $C$  que será utilizada para realizar a classificação pretendida.

Em baixo podemos visualizar, na imagem a), um exemplo da aplicação de um filtro a uma janela[8], já na segunda imagem apresentada é representado um exemplo da aplicação de um filtro à janela deslizante de tamanho 3x3 com um stride de 2 ao longo de uma das dimensões da imagem[8].





Num exemplo mais concreto, em baixo, podemos ver uma imagem cujas dimensões são  $30 \times 30$ , essa imagem foi tratada com uma janela deslizante de  $3 \times 3$  e um stride de 3 nos eixos  $x$  e  $y$  resultando em 100 imagens a serem processadas pelo filtro escolhido.

Como já foi referido cada filtro recebe uma sub-imagem correspondente aos pixels abrangidos pela janela deslizante e devolve um valor, cada valor devolvido será posteriormente recolhido pela ordem em que cada sub-imagem foi filtrada de forma a refazer a figura com as características obtidas através dos filtros. Em baixo podemos observar um esquema resumido de todo o processo de pooling.

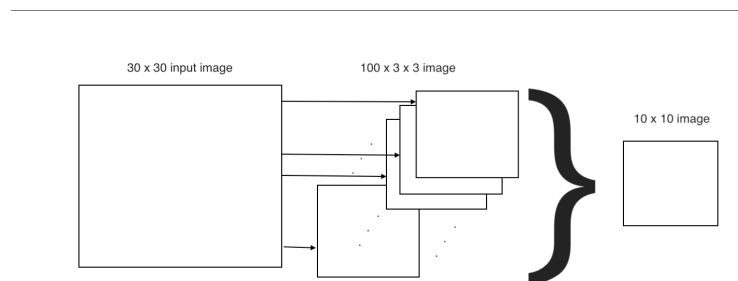


Figura 3: Esquema básico de pooling

## 2.1 Poolings Clássicos

Existem alguns pooling clássicos que são comumente usados como o "max-pooling", "min-pooling", "average-pooling" e "maximum centered pooling", todos eles serão em seguida explicados.

### 2.1.1 Max-Pooling

O max pooling trata-se de um filtro aplicado a uma imagem que devolve o valor máximo dessa imagem, isto é, como cada imagem consiste num conjunto de pixels cujos valores variam dentro do intervalo de números inteiros  $[0,255]$  o max-pooling vai devolver o valor mais alto contido na imagem[8]. Seja  $A$  uma janela de pixels que representa uma parte de uma imagem, a formula deste filtro aplicado a  $A$  é a seguinte:

$$\text{max\_pooling}(A) = \max(A)$$

Um exemplo deste tipo de filtro pode ser visualizado em baixo.

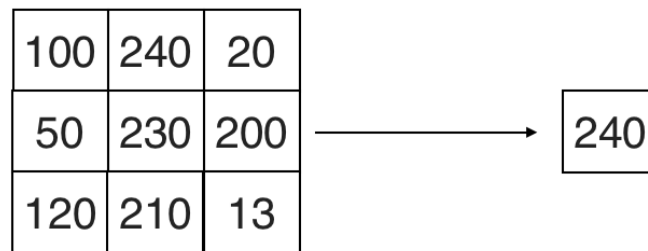


Figura 4: Exemplo de Max-Pooling

### 2.1.2 Min-Pooling

O min-pooling trata-se de um filtro aplicado a uma imagem que devolve o valor minimo contido nessa mesma imagem, isto é, dos valores dos pixels da imagem é devolvido o menor. Seja  $A$  uma janela de pixels que representa uma parte de uma imagem, a formula deste filtro aplicado a  $A$  é a seguinte:

$$\text{min\_pooling}(L) = \min(A)$$

Em baixo pode-se observar um exemplo deste filtro.

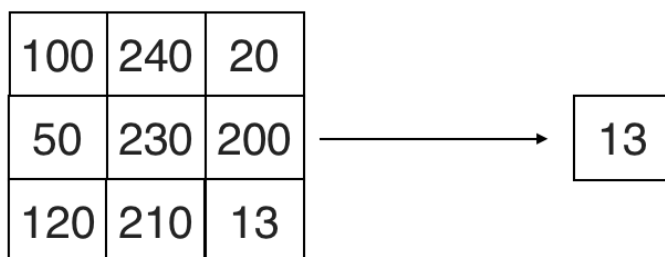


Figura 5: Exemplo de Min-Pooling

### 2.1.3 Average Pooling

O average pooling trata-se de um filtro aplicado a uma imagem que devolve o valor médio dos pixels dessa imagem, isto é, os valores de todos os pixels são somados e posteriormente são divididos pelo número de pixels existentes na imagem para obter uma média por pixel[8]. Seja  $A$  uma janela de pixels de uma parte de uma imagem com dimensões  $L1$  e  $L2$ , a fórmula deste filtro aplicado a  $A$  é a seguinte:

$$average\_pooling(A) = \frac{\sum_{i=0}^{L1} \sum_{j=0}^{L2} A_{ij}}{L1 * L2}$$

Um exemplo deste filtro pode ser visualizado em baixo.

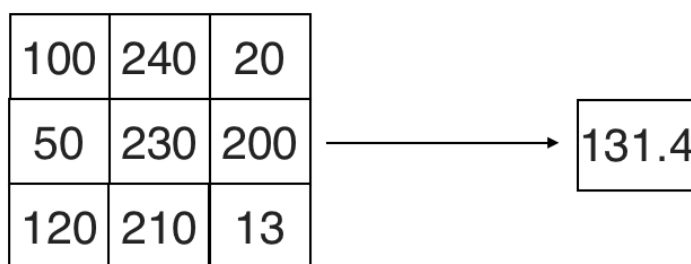


Figura 6: Exemplo de Average Pooling

### 2.1.4 Maximum Centered Pooling

O maximum minus average pooling trata-se de um filtro aplicado a uma imagem que devolve o valor médio dessa imagem subtraído ao valor máximo da mesma,

isto é, primeiro acha-se a média dos pixels da imagem e o valor máximo de todos esses pixels e devolve-se a diferença entre o valor máximo encontrado e a média dos valores de todos os pixels da imagem. Seja  $A$  uma janela de pixels de uma parte de uma imagem com dimensões  $L1$  e  $L2$ , a formula deste filtro aplicado a  $A$  é a seguinte:

$$\max\_centered\_pooling(A) = \max(A) - \frac{\sum_{i=0}^{L1} \sum_{j=0}^{L2} A_{ij}}{L1 * L2}$$

Em baixo é apresentado um exemplo simples da aplicação deste filtro.

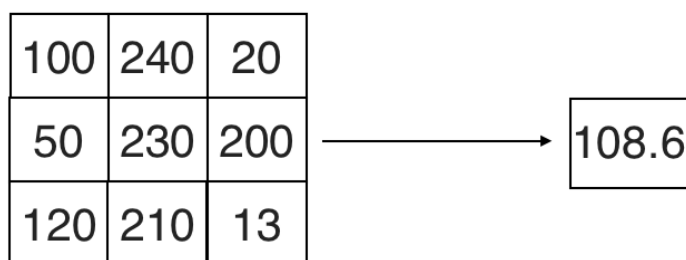


Figura 7: Exemplo de Maximum Centered Pooling

## 2.2 Poolings Exóticos

Existem também alguns poolings exóticos definidos especificamente para a base de dados que possuímos. Estes não funcionam da mesma maneira que os clássicos uma vez que se baseiam em características das imagens do dataset.

Como o dataset é constituído de imagens do número 3 e do número 8 e a diferença na representação dos mesmos, de forma simplista, pode ser entendida com se tratando de que no oito temos dois círculos fechados e no três temos dois círculos com cerca de um quarto dos mesmos por concluir, sendo a junção dos círculos sobreposta de igual forma com se pode ver nas figuras abaixo.



Figura 8: Representação dos números 3 e 8

Isto fornece-nos algumas ideias sobre os tipos de filtros que se podem criar tendo em conta esta simplificação das diferenças dos mesmos.

### 2.2.1 Diagonal and Vertical Average Pooling

Neste primeiro filtro a ideia subjacente passa por, tentar utilizar a diferença dos valores dos pixels do oito e do 3 verticalmente e diagonalmente tal como se pode ver nas figuras abaixo que identificam o que esperamos encontrar.

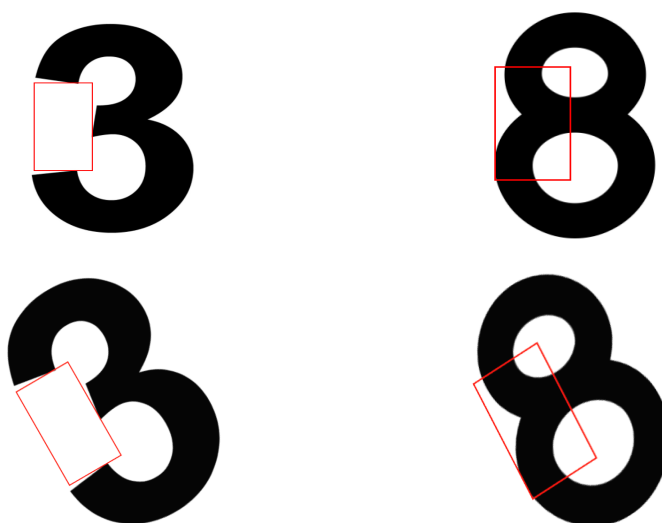


Figura 9: Representação do objetivo a identificar como o filtro sobre os números 3 e 8

A pensar neste tipo de abordagem este filtro soma os eixos diagonal (sentido descendente da esquerda para a direita) e vertical da janela recebida e divide os mesmos pelo número de elementos somados. Seja  $A$  a janela de dimensões  $size\_x$  e  $size\_y$ . As seguintes formulas mostram os passos para a realização do processo.

Posição inicial da lista vertical:

$p\_vertical = size\_x : 2$ , em que o valor  $p\_vertical$  é arredondado às unidades.

Posição inicial da lista diagonal:

$p\_diagonal = 0$

Deve existir um elemento que dite a linha da matriz a consultar começando inicializado a 0:

$$linha = 0$$

Deve ainda existir 1 lista para armazenar os pixels verticais e diagonais, cujo comprimento é  $L = 0$ .

$$lista = []$$

A cada iteração a lista com os pixels diagonais e verticais, que no início do processo se encontra vazia é atualizada acrescentando dois elementos da matriz  $A$ , fazendo com que o seu comprimento  $L$  aumente também em 2 unidades. Adicionalmente a variável linha também aumenta em 1 unidade.

$$\begin{aligned} lista(k+1) &= lista(k) + [A_{p\_diagonal,linha}] + [A_{p\_vertical,linha}] \\ L(k+1) &= L(k) + 2 \\ linha(k+1) &= linha(k) + 1 \end{aligned}$$

No final é realizada a soma dos elementos da lista e a divisão desta soma pelo número de elementos da mesma.

$$media = \frac{\sum_{i=0}^L lista_i}{L}$$

A variável media é devolvido pelo filtro como o resultado do processamento da janela.

### 2.2.2 Diagonal and Vertical Max Centered Pooling

À semelhança do filtro anterior este filtro também pretende usar a diagonal e a vertical do vetor representativo da janela deslizante, a diferença é que este subtrai a média, que é calculada da mesma forma que na função anterior, ao valor máximo encontrado na diagonal e vertical da janela representada pelo vetor. Assim, reaproveitando todas as definições anteriormente apresentadas o resultado devolvido por este filtro é:

$$max\_centered = max(lista) - media$$

### 2.2.3 Diagonal and Vertical Max Pooling

Este filtro parte do princípio que as imagens representativas dos números 3 e 8 podem ser dadas rotacionadas em qualquer direção e para tentar mitigar esse problema são calculadas ambas as diagonais e a vertical colecionando-as em arrays

distintos, verifica qual o valor mínimo de cada um dos arrays colecionados e posteriormente devolve o maximo valor dos 3 anteriormente obtidos. As definições das seguintes formulas são dadas pela ordem de implementação:

Posição inicial da lista vertical  $V1$ :

$p\_vertical = size\_x : 2$ , em que o valor  $p\_vertical$  é arredondado às unidades.

Valor a ser usado para calcular as posições dos pixeis de ambas as listas diagonais  $D1$  e  $D2$ :

$p\_diagonal = 0$

Deve existir um elemento que dite a linha da matriz a consultar começando inicializado a 0:

$linha = 0$

Devem ainda existir 3 listas para armazenar os pixeis verticais e diagonais, cujos comprimentos são 0 aquando da sua criação.

$V1 = []$   
 $D1 = []$   
 $D2 = []$

A cada iteração as listas são incrementadas em 1 elemento. Adicionalmente a variável linha também aumenta em 1 unidade.

$V1(k+1) = V1(k) + [A_{p\_vertical,linha}]$   
 $D1(k+1) = D1(k) + [A_{p\_diagonal,linha}]$   
 $D2(k+1) = D2(k) + [A_{size\_x-(p\_diagonal+1),linha}]^3$   
 $linha(k+1) = linha(k) + 1$

No final é devolvido o pixel com valor máximo das 3 listas criadas.

$maximum = \max(\max(\max(V1), \max(D1)), \max(D2))$

---

<sup>3</sup> Note-se que é necessário somar uma unidade a  $p\_diagonal$  uma vez que o primeiro elemento de A se encontra na posição 0 fazendo com que o último elemento de uma linha da matriz se encontre numa posição múltipla de  $size\_x - 1$  e não de  $size\_x$

#### 2.2.4 Diagonal and Vertical Min Average Pooling

À semelhança do filtro anterior, este filtro calcula 3 arrays correspondentes às diagonais e à vertical. Em seguida realiza a média de cada um dos arrays e devolve a menor média. Assim, reaproveitando as definições anteriormente feitas sobre os arrays  $V1$ ,  $D1$  e  $D2$  e sobre as respetivas atualizações a cada iteração temos as seguintes definições:

Para cada lista é necessário calcular a média. Note-se que cada lista possui o mesmo comprimento pois foi recolhido 1 pixel por linha para cada uma. Seja  $Dim1$  a dimensão da lista  $V1$  assim:

$$\begin{aligned} M1 &= \frac{\sum_{i=0}^{Dim1} V1_i}{Dim1} \\ M2 &= \frac{\sum_{i=0}^{Dim1} D1_i}{Dim1} \\ M3 &= \frac{\sum_{i=0}^{Dim1} D2_i}{Dim1} \end{aligned}$$

Por fim é realizada a escolha da menor média obtida.

$$menor\_media = \min(\min(M1, M2), M3)$$



### 3 Implementação

Nesta secção mostrar-se-á a implementação em python da preparação da base de dados, do classificador logístico, das funções de pooling e das funções de avaliação da performance dos modelos.

#### 3.1 Base de Dados

A base de dados utilizada neste trabalho possui 2000 imagens das quais 1000 representam o número 3 e as restantes 1000 representam o número 8. A cada imagem que representa o número 3 foi atribuída a label 0 e às restantes atribuiu-se a label 1 fazendo desta uma base de dados binária. Cada imagem do dataset é composta por 36 colunas e 31 linhas totalizando 1116 pixels cujos valores variam entre 0 e 255.

#### 3.2 Prepare data

Foi criada uma função que permitisse separar as imagens e respetivas labels em datasets de treino e teste, um procedimento necessário para criar um dataset de validação que nos permita escolher o melhor modelo[2,6]. Esta função recebe um vetor com as imagens<sup>4</sup>, um vetor com as labels correspondentes às imagens, o número de imagens no vetor, as dimensões das imagens e a percentagem das imagens a serem usadas para treino.

Esta função calcula o número de imagens a serem utilizadas para treino com base na percentagem recebida, separando assim as imagens e respetivas labels em dataset de treino e teste. Neste caso foram utilizadas 85% das imagens para treino e os restantes 15% foram utilizados para teste[6].

É criado um array de pesos *ew* com o mesmo número de elementos que uma imagem a partir das dimensões recebidas pela função e é avaliado um erro para o array de pesos iniciais.

Esta função devolve os datasets de treino e teste bem como os respetivos tamanhos o array de pesos e o erro inicial.

---

<sup>4</sup> Note-se que as imagens já estão baralhadas no dataset antes de serem passadas à função em questão.

```
def prep_data_train(N, imagens, labels, n_cols=n_cols, n_rows=n_rows, percentage=0.85):
    Nt= int(N*percentage)
    Ne= int(N*(1-percentage))
    I = int(n_rows*n_cols)

    Xt = imagens[:int(N*percentage)]
    Yt = labels[:int(N*percentage)]
    Xe = imagens[int(N*percentage):]
    Ye = labels[int(N*percentage):]

    ew=[x/N for x in np.ones([I+1])]
    err=[]
    err.append(cost(Xt,Yt,Nt,ew))
    print("Initial error! => ",err)
    return Xt,Yt,Nt,Ne,Xe,Ye,ew,err
```

Figura 10: Função de preparação dos datasets de treino e teste

### 3.3 Classificador Logístico

A implementação do classificador logístico foi dividida em 5 funções, nomeadamente: *run\_stochastic*, *predictor*, *sigmoid*, *cost* e *update*. Estas funções e respetivos funcionamentos serão apresentados em seguida pela ordem em que foram referidos.

#### 3.3.1 Run Stochastic

A função *run\_stochastic* trata-se da função principal da implementação do classificador logístico e tal como o nome indica aplica o método estocástico ao mesmo. O método estocástico foi escolhido porque se trata do método que apresenta o menor custo em termos de performance face às restantes tecnologias[6,7]. Esta função começa por definir que o erro almejado tem valor 0, indicando assim uma das condições de paragem do ciclo. Começa também por criar um contador *it* para contabilizar as iterações realizadas inicializando este a 0.

A cada iteração é escolhido um elemento aleatório da nossa base de dados de treino e é calculado um novo vetor de pesos recorrendo à função *update*. Este novo vetor é posteriormente utilizado para calcular um erro através da função *cost* que indica a diferença entre os valores das labels calculados com recurso aos novos pesos e os valores reais das labels, sendo este erro armazenado para posterior visualização. A variável *it* é então incrementada em 1 unidade e caso tenha atingido o número máximo de iterações que pretendemos sai do ciclo. No final é devolvido o array de pesos juntamente com o array que contém a progressão dos erros ao longo das iterações realizadas.

```
def run_stochastic(X,Y,N,eta,MAX_ITER,ew,err):
    epsi=0
    it=0
    while(err[-1]>epsi):
        n=int(np.random.rand()*N) # indice aleatório (0-N)
        new_eta=eta
        ew=update(X[n],Y[n],new_eta,ew)
        erro = cost(X,Y,N,ew)
        err.append(erro)
        print('iter %d, cost=%f, eta=%e \r' %(it,err[-1],new_eta),end='')
        it=it+1
        if(it>MAX_ITER): break
    return ew, err
```

Figura 11: Função Estocástica implementada

### 3.3.2 Predictor

A função predictor é responsável por calcular o valor em  $\mathbb{R}$  a ser passado á função sigma. Este valor em  $\mathbb{R}$  é calculado fazendo a soma do primeiro elemento do vetor de pesos pelo produto vetorial dos restantes elementos desse vetor com o array de pixels representativo da imagem. No fim é devolvido o resultado de sigma.

```
def predictor(x,ew):
    s=ew[0];
    s=s+np.dot(x,ew[1:])
    sigma=sigmoid(s)
    return sigma
```

Figura 12: Função Predictor implementada

### 3.3.3 Sigmoid

Para a sua implementação recorreu-se á biblioteca python *numpy* que possui uma função *numpy.exp()* que recebe um expoente  $s$  e calcula  $e^s$ , no entanto foi necessário ter atenção á capacidade de precisão do computador<sup>5</sup> e por esse motivo criaram-se limites de expoente de forma a que este não excedesse os números 30 e -30.

Nesta função o valor de  $s$  é arredondado mediante a necessidade, como referido no parágrafo anterior, e é usado como expoente de  $e$  na função  $\sigma$  devolvendo o resultado da mesma.

<sup>5</sup> A capacidade de precisão do computador refere-se ao número máximo de bits disponíveis para a representação de um número, exceder esta capacidade leva a erros de *Overflow*.

```
def sigmoid(s):
    large=30
    if s<-large: s=-large
    if s>large: s=large
    return (1 / (1 + np.exp(-s)))
```

Figura 13: Função Sigmoid implementada

### 3.3.4 Cost

Esta função começa por criar um acumulador para os erros de predição das labels das imagens face às labels reais chamado  $En$  que é inicializado a 0 e pelos mesmos motivos de precisão computacional da função sigmoid estabelece um limite mínimo e máximo para o valor previsto.

Em seguida é iterado todo o dataset de treino imagem a imagem e sobre cada uma é calculada a probabilidade de esta imagem pertencer à label 1 e é utilizada a formula  $Y_n * \log_e(\hat{y}) + (1 - Y_n) * \log_e 1 - \hat{y}$  para calcular o desvio da predição somando-o à variável  $En$ .

No fim é devolvida a média dos erros dividindo os erros acumulados pelos número de imagem iteradas.

```
def cost(X,Y,N,ew):
    En=0
    epsi=1.e-12
    for n in range(N):
        y=predictor(X[n],ew);
        if y<epsi: y=epsi;
        if y>1-epsi: y=1-epsi;
        En=En+Y[n]*np.log(y)+(1-Y[n])*np.log(1-y)
    En=-En/N
    return En
```

Figura 14: Função Cost implementada

### 3.3.5 Update

A função update começa por obter uma predição sobre uma imagem e calcula a diferença entre o valor real da label da imagem e o valor previsto guardando-o na variável  $s$ . A variável  $eta$  representa o learning rate a ser usado na atualização dos pesos.

Posteriormente o primeiro elemento do array de pesos é atualizando somando-se ao produto de  $s$  por  $eta$  e os restantes elementos do array de pesos são atualizados individualmente somando-se ao produto de  $s$  com  $eta$  com o elemento da imagem  $x$  que se encontra na mesma posição do array - 1.

No final é devolvido um array com os pesos atualizados.

```
def update(x,y,eta,ew):
    r=predictor(x,ew)
    s=(y-r);
    new_eta=eta
    ew[0]=ew[0]+s*eta
    ew[1:]=ew[1:]+s*eta*x
    return ew
```

Figura 15: Função Update implementada

### 3.4 Poolings Clássicos

Nesta subsecção explicar-se-á a implementação das técnicas de pooling clássicas referidas na secção anterior. É de notar que a matriz a que cada pooling é aplicado foi transformada numa lista para uma mais facil implementação.

#### 3.4.1 Max Pooling

Este filtro aplica a função *max* do python á lista recebida.

```
def max_func(data):
    return max(data)
```

Figura 16: Função Max implementada

#### 3.4.2 Min Pooling

Este filtro aplica a função *min* do python á lista recebida.

```
def min_func(data):
    return min(data)
```

Figura 17: Função Min implementada

#### 3.4.3 Average Pooling

Este filtro realiza uma divisão entre a soma dos elementos do vetor recebido e o tamanho do vetor recebido.

```
def average_func(data):
    return sum(data)/len(data)
```

Figura 18: Função Average implementada

#### 3.4.4 Max Centered Pooling

Neste filtro utilizaram-se dois filtros previamente definidos, subtraindo o resultado do filtro de average pooling ao resultado do filtro de max pooling.

```
def max_centered_func(data):
    return max_func(data)-average_func(data)
```

Figura 19: Função Max centered implementada

### 3.5 Poolings Exóticos

Tal como já se referiu anteriormente foram criados alguns filtros de pooling exóticos baseados nas características do dataset de imagens. A sua implementação é decrita a seguir.

#### 3.5.1 Diagonal and Vertical Average Pooling

A implemetação deste filtro passou por criar uma lista vazia denominada *lista*, uma variável *pos*<sup>6</sup> a utilizar para iterar a posição do pixel a adicionar pertencente á diagonal da janela e uma variável *center* que indica a posição do pixel de cada linha pertencente á vertical que se encontra no centro da janela. Posteriormente é realizado um ciclo enquanto a posição do pixel diagonal for inferior a ambas as dimensões da janela. Em cada iteração, começa-se por adicionar á lista o pixel diagonal calculado como a posição do pixel diagonal na linha *pos* somado com o número de pixeis por linha já percorrida. Em seguida acrescenta-se á lista o pixel pertencente á vertical calculado como a posição na linha correspondente á vertical dada pela variável *center* somada ao número de pixeis percorridos nas linhas anteriores. Note-se que existe sempre um ponto em

<sup>6</sup> note-se que foi tirado partido do facto de a posição da diagonal ter as mesmas coordenadas em x e y, logo a variavel *pos* representa tanto a linha da matriz em que estamos como a posição na linha em que o pixel se encontra.

que a diagonal e a vertical se intersetem, o problema da dupla contabilização deste ponto foi resolvido com um if que impede que tal aconteça.

No final de cada iteração a linha, representada pela variável *pos*, é atualizada sendo incrementada em 1 unidade.

No fim da função retorna-se a média dos elementos da lista.

```
def diag_plus_vert_avg(data, size_x, size_y):
    lista = []
    pos = 0
    center = int(size_x/2)
    while(size_y > pos and size_x > pos):
        if (pos + pos * size_x == (center + pos * size_x)):
            lista.append(data[pos + pos * size_x])
        else:
            lista.append(data[pos + pos * size_x])
            lista.append(data[center + pos*size_x])
        pos = pos + 1
    return sum(lista)/len(lista)
```

Figura 20: Função que realiza a média sobre o filtro diagonal e vertical

### 3.5.2 Diagonal and vertical Max Centered Pooling

Esta função começa, tal como a anterior, por definir uma lista vazia, uma variável *pos* e uma variável *center* seguindo-se a coleta dos elementos da diagonal superior e da vertical da janela durante o ciclo que se segue. No final é devolvida a diferença entre o valor máximo da lista e a média dos valores da mesma.

```
def diag_plus_vert_max_centered(data, size_x, size_y):
    lista = []
    pos = 0
    center = int(size_x/2)
    while(size_y > pos and size_x > pos):
        if (pos + pos * size_x == (center + pos * size_x)):
            lista.append(data[pos + pos * size_x])
        else:
            lista.append(data[pos + pos * size_x])
            lista.append(data[center + pos*size_x])
        pos = pos + 1
    return max(lista) - sum(lista)/len(lista)
```

Figura 21: Função que realiza o "Max centered" sobre filtro diagonal e vertical

### 3.5.3 Diagonal and Vertical Max Pooling

Nesta função são declaradas 3 listas, sendo que cada uma vai conter os elementos de uma das diagonais ou os elementos da reta vertical que se encontra no centro da janela. É também declarada uma variável *pos* e uma variável *center* á semelhança dos restantes filtros exóticos.

Durante o ciclo os elementos da diagonal decrescente são colecionados no array *diag1*, os elementos da diagonal crescente no array *diag2* sendo os elementos da vertical armazenados no array *vert*.

Após o ciclo é encontrado o valor mínimo de cada um dos 3 arrays e desses é devolvido o maior.

```
def diag_vert_max(data,size_x,size_y):
    diag1 = []
    diag2 = []
    vert = []
    pos = 0
    center = int(size_x/2)
    while(size_y > pos and size_x > pos):
        diag1.append(data[pos*size_x + pos])
        diag2.append(data[(pos+1)*size_x - (pos+1)])
        vert.append(data[center+pos*size_x])
        pos = pos + 1
    return max(min(diag1),max(min(diag2),min(vert)))
```

Figura 22: Função que obtém o máximo valor dos 3 valores mínimos encontrados nas diagonais e vertical do vetor

### 3.5.4 Diagonal and Vertical Min Average Pooling

Nesta função á semelhança da anterior declararam-se 3 listas, uma variável *pos* e uma variável *center* que desempenham o mesmo papel que na função anterior. A coleta e armazenamento dos elementos das diagonais e da coluna central da janela também foram realizadas da mesma forma que na função anterior. Após o ciclo foi calculada a média de cada lista e foi devolvida a menor média das três.

```
def diag_vert_min_avg(data,size_x,size_y):
    diag1 = []
    diag2 = []
    vert = []
    pos = 0
    center = int(size_x/2)
    while(size_y > pos and size_x > pos):
        diag1.append(data[pos*size_x + pos])
        diag2.append(data[(pos+1)*size_x - (pos+1)])
        vert.append(data[center+pos*size_x])
        pos = pos + 1
    return min(sum(diag1)/size_y,min(sum(diag2)/size_y,sum(vert)/size_y))
```

Figura 23: Função que obtém o mínimo valor das 3 médias calculadas sobre as diagonais e vertical do vetor



Foi ainda definida uma função que permite simplificar a escolha do filtro a ser usado, ou seja, dada uma opção numérica, aplica o filtro associado ao vetor representativo da janela deslizante.

```
def window_func(data, option, size_x, size_y):
    if option == 0:
        return max_func(data)
    elif option == 1:
        return min_func(data)
    elif option == 2:
        return average_func(data)
    elif option == 3:
        return max_centered_func(data)
    elif option == 4:
        return diag_plus_vert_avg(data, size_x, size_y)
    elif option == 5:
        return diag_plus_vert_max_centered(data, size_x, size_y)
    elif option == 6:
        return diag_vert_max(data, size_x, size_y)
    else:
        return diag_vert_min_avg(data, size_x, size_y)

    print('FAILED!!')
    exit(2)
```

Figura 24: Função responsável por fazer a correspondência opção-filtro

### 3.5.5 Janela Deslizante

Foi implementada uma função responsável por aplicar a janela deslizante a cada imagem do dataset de forma genérica.

Esta função começa por definir as dimensões da imagem pós-filtro calculando quantas vezes tem de somar o *stride\_x* à dimensão *x* da janela deslizante para atingir o mesmo número de colunas que a imagem original e o mesmo processo é aplicado para calcular as dimensões em *y* da imagem pós-filtro, fazendo uso da dimensão *y* da janela, da variável *stride\_y* e da dimensão em *y* da imagem pré-filtro[8].

Posteriormente os vetores representativos das imagens originais são iterados um a um e para cada são calculadas as posições abrangidas pela janela a cada iteração começando no ponto inicial (0,0) até a janela ter percorrido a totalidade da imagem. A cada uma das referidas iterações, nas quais se movimenta a janela, os pixels abrangidos pela janela são armazenados num vetor ao qual se aplica um filtro para obter o valor de um pixel que passará a integrar a imagem pós-filtro. O novo dataset constituído pelas imagens pós-filtro é então devolvido pela função.

```
def slide_window(data, labels, col, rows, stride_x, stride_y, size_x, size_y, option):
    print("\nStarted to use a window of size ", size_x, "x", size_y, " with strides ", stride_x, " and ", stride_y, "!\n")
    new_data = []
    new_img_size_x = int((col-size_x)/stride_x +1)
    new_img_size_y = int((rows-size_y)/stride_y +1)
    i=1
    for image in data: # para cada imagem dos dados
        print("Images shrinked: %d \r"%(i),end=""); i += 1
        new_img = np.zeros([(new_img_size_y)*(new_img_size_x)])
        for y in range(new_img_size_y):
            for x in range(new_img_size_x):
                placement_x = x*stride_x
                reconstructed_image = np.array([])
                for line in range(size_y):
                    placement_y = (y*stride_y)*36 + line * 36
                    reconstructed_image = np.concatenate((reconstructed_image, image[placement_y:placement_y+placement_x:size_x]),axis=0)
                new_img[(new_img_size_x-1) + x] = window_func(reconstructed_image, option, size_x, size_y)
        new_data.append(new_img)

    # gravar com 85% para casos relevantes!!

    print("\nAll images shrinked!")
    new_data = np.array(new_data)
    return new_data
```

Figura 25: Função responsável por executar a janela deslizante

### 3.6 Avaliação de Resultados

Para avaliar os modelos criados foi implementada uma função que calcula a matriz de confusão. Uma vez que no dataset utilizado classificar mal um 3 e classificar mal um 8 tem o mesmo peso a métrica Accuracy é a ideal para avaliar a qualidade das previsões do modelo, as métrica de Recall, Precisão e F-Score não são as melhores a aplicar uma vez que atribuem inportancias diferentes á classificação errónea de um 3 ou um 8.

#### 3.6.1 Matriz de Confusão

Esta função começa por criar a matriz 2x2 onde serão contabilizados os resultados da previsão das diversas imagens consoante se enquadrem nas definições dadas para o preenchimento de cada campo da matriz. Note-se que cada camp é inicializada a 0.

As imagens da dataset são iteradas uma a uma e para cada é realizada um previsão. Posteriormente é contabilizado na tabela de confusão um dos quatro resultados:

- Caso a previsão seja inferior a 0.5 e a label também a posição (0,0) da matriz é incrementada em um unidade.
- Caso a previsão seja superior a 0.5 e a label também a posição (1,1) da matriz é incrementada em um unidade.
- Caso a previsão seja inferior a 0.5 e a label seja superior a 0.5 a posição (0,1) da matriz é incrementada em um unidade.
- Caso a previsão seja superior a 0.5 e a label não a posição (1,0) da matriz é incrementada em um unidade.

```
def confusion(Xeval,Yeval,N,ew):
    C=np.zeros([2,2]);
    for n in range(N):
        y=predictor(Xeval[n],ew)
        if(y<0.5 and Yeval[n]<0.5): C[0,0]=C[0,0]+1;
        if(y>0.5 and Yeval[n]>0.5): C[1,1]=C[1,1]+1;
        if(y<0.5 and Yeval[n]>0.5): C[1,0]=C[0,1]+1;
        if(y>0.5 and Yeval[n]<0.5): C[0,1]=C[1,0]+1;
    return C
```

Figura 26: Função que calcula a matriz de confusão

### 3.6.2 Accuracy

A implementação da accuracy passou por calcular usando a matriz de confusão quais as amostras corretamente classificadas e incorretamente classificadas pela ordem referida, e em seguida devolver o resultado da divisão do número de amostras bem classificadas pela totalidade das amostras classificadas (amostras bem classificadas + amostras mal classificadas).

```
def accuracy(matrix):
    right_samples = matrix[0,0]+matrix[1,1]
    wrong_samples = matrix[1,0]+matrix[0,1]
    return right_samples/(right_samples+wrong_samples)
```

Figura 27: Função que calcula a accuracy

## 4 Benchmarking

Nesta secção falar-se-á dos resultados obtidos e analisar-se-ão os mesmos. Vamos começar por apresentar a validação do classificador onde não se utilizaram janelas para remover o ruído e posteriormente serão apresentadas todas as janelas testadas com os respetivos filtros.

É de sublinhar que cada uma das implementações testada foi corrida 9 vezes após a sua otimização, este processo é essencial uma vez que ao utilizarmos o método do gradiente estocástico inserimos um componente aleatório na convergência, ou seja é necessário realizar vários testes para garantir que este método não prejudica os resultados obtidos calibrando mal os pesos ou não permitindo a melhor calibração dos mesmos que se obteria por outros métodos mais precisos embora mais demorados. Quanto à otimização levada a cabo em cada uma das versões do logistic classifier convém referir algumas regras básicas que foram seguidas neste trabalho.

- Devemos observar a variação do erro pós refinamento dos pesos para garantir que este não é errático o que indica que o learning rate é muito grande[4].
- É necessário verificar se o erro se torna estático durante algumas dezenas de epochs, este estaticismo revela que o número de epochs é demasiado elevado ou que o learning rate é demasiado baixo, no entanto caso este learning rate após dezenas de epochs em que a variação do erro tende a diminuir se tornar errático devemos truncar as epochs até ao momento em que o erro se torna errático e repetir o refinamento dos pesos a partir desse ponto com um learning rate mais baixo[4].
- Convém saber que, por norma, o decréscimo do learning rate tende a situar-se algures entre  $1/4$  e  $3/4$  do valor anterior, verificando-se mais comumente o valor de  $1/2$ , sendo este depois ajustado baseado nos resultados da progressão dos erros[7].

### 4.1 Validação do Classificador

Esta implementação trata-se do classificador genérico, este não faz uso nem de janelas deslizantes nem de filtros, em vez disso processa todas as imagens na sua totalidade. A progressão dos valores de erro e a tabela de confusão obtida após a otimização dos pesos do mesmo pode ser vista em baixo.

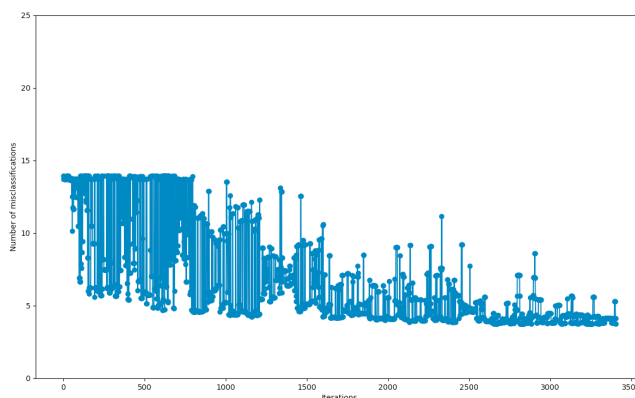


Figura 28: Progressão dos erros da versão de validação

```

Initial error! => [13.701746735026397]
iter 800, cost=4.567247, eta=5.000000e-02

iter 800, cost=4.290938, eta=2.000000e-02

iter 1000, cost=3.938908, eta=8.000000e-03

iter 800, cost=3.770824, eta=3.000000e-03

in-samples error=3.770824
[[705. 138.]
 [ 94. 763.]]
0.8635294117647059

out-samples error=3.039414
[[140.  17.]
 [ 16. 127.]]
0.89

```

Figura 29: Tabelas de confusão da versão de validação

Como podemos ver na tabela de confusão do out-sample temos 300 imagens das quais 46 foram mal classificadas o que nos deixa com uma taxa de sucesso de 89%. Através da representação dos erros no gráfico podemos verificar que a os erros tendem a estabilizar perto do valor 3,7 uma vez que a curva de otimização se comporta de tal forma que tende a estabilizar e a minimizar os ganhos em termos de taxa de sucesso face ao treino empregue após atingir este valor. Esta versão demora cerca de 23 minutos e 48 segundos a executar. Note-se também que existe underfitting dos dados de treino face aos dados de

teste, indicando que caso o vetor de pesos seja usado para classificar um dataset de 3 e 8 maior os resultados não deverão desviar-se muito dos obtidos em cima embora possam piorar uma vez que o underfitting mostra que o modelo não se adaptou muito bem aos dados de treino.

No presente momento podemos dizer que o dataset não é linearmente separável na sua totalidade uma vez que não conseguimos separar 11% das imagens do out-sample.

## 4.2 Análise dos Poolings Clássicos

Nesta secção será abordada a utilização dos poolings denominados clássicos para avaliar os benefícios que estes fornecem á taxa de sucesso de previsão e aos tempos de execução do treino e teste do modelo. Estes serão apresentados na tabela abaixo pela mesma ordem em que foram implementados juntamente com os respetivos resultados<sup>7</sup>. Note-se que, para cada combinação de janela e filtro de pooling, se realizaram 9 execuções do código e que o resultado apresentado é o melhor valor obtido dessas 9 execuções. Note-se também que as in-samples e out-samples serão referenciadas como *in* e *out* e que os seus valores estão em percentagem, e que os valores no campo time se encontram em minutos e segundos.

| Janela \ Filtro | 2x2   |        |       | 2x3   |        |       | 3x2   |        |       | 3x3   |        |      |
|-----------------|-------|--------|-------|-------|--------|-------|-------|--------|-------|-------|--------|------|
|                 | in(%) | out(%) | time  | in(%) | out(%) | time  | in(%) | out(%) | time  | in(%) | out(%) | time |
| Max             | 75,00 | 75,00  | 17:00 | 67,40 | 69,00  | 11:38 | 66,94 | 69,00  | 8:48  | 88,00 | 88,67  | 6:32 |
| Min             | 86,00 | 89,30  | 16:09 | 88,18 | 90,00  | 9:11  | 87,71 | 90,00  | 11:40 | 89,88 | 90,33  | 6:34 |
| Average         | 85,70 | 85,67  | 17:46 | 84,18 | 86,67  | 9:52  | 78,65 | 83,33  | 12:52 | 83,06 | 82,33  | 3:04 |
| Max Centered    | 88,60 | 88,30  | 21:02 | 88,06 | 90,00  | 13:58 | 88,00 | 90,00  | 8:32  | 86,29 | 89,00  | 6:51 |

| Validação do Classificador | in-sample(%) | out-sample(%) | time  |
|----------------------------|--------------|---------------|-------|
|                            | 86,35        | 89,00         | 23:48 |

Nesta tabela temos vários resultados que se mostram melhores que os obtidos aquando da validação do classificador, sendo que esses resultados são fruto da conjugação dos filtros "Min" e "Max Centered" com as várias janelas utilizadas. Por outro lado o filtro "Max" teve maus resultados conjugado com todas as janelas exceto a 3x3.

No caso do filtro Min podemos observar que á medida que aumentamos as dimensões da janela os resultados tendem a melhorar e o underfitting do modelo tende a diminuir, sendo o seu menor valor 0.45% no caso da janela 3x3. O modelo resultante da conjugação do filtro Min com a janela 3x3 e stride 2 nas dimensões x e y foi aquele que produziu o melhor resultado uma vez que apresenta juntamente com a melhor taxa de sucesso nas previsões, a menor taxa de underfitting

<sup>7</sup> Para cada um dos poolings procedeu-se também a uma otimização dos parâmetros de learning rate e número de epochs.

e o melhor tempo demorando apenas 6 minutos e 34 segundos a executar. É também importante realçar que comparando os resultados obtidos das conjunções dos diferentes filtros empregues com as janelas 2x3 e 3x2 se verifica que a janela 2x3 é em geral melhor para prever os dados por possuir menor underfitting, isto é as imagens do dataset são melhor classificadas caso se use uma janela que possua dimensões em  $y$  maiores do que em  $x$ .

### 4.3 Análise dos Poolings Exóticos

Nesta secção será analisada a utilização dos poolings exóticos implementados e explicados na secção anterior. Mais uma vez executaram-se 9 vezes cada combinação de janela e filtro e apenas o melhor resultado de cada combinação é apresentado. Adicionalmente sublinha-se que as in-samples e out-samples encontram-se na tabela referenciadas como *in* e *out* e os seus valores encontram-se em percentagem. Uma vez que os nomes dos filtros exóticos são extensos utilizar-se-ão as iniciais de cada um e estes serão apresentados na tabela pela ordem de apresentação dos mesmos na subsecção 2.2.

| Janela \ Filtro | 2x2   |        |       | 2x3   |        |       | 3x2   |        |      | 3x3   |        |      |
|-----------------|-------|--------|-------|-------|--------|-------|-------|--------|------|-------|--------|------|
|                 | in(%) | out(%) | time  | in(%) | out(%) | time  | in(%) | out(%) | time | in(%) | out(%) | time |
| DVAP            | 83,65 | 87,00  | 13:03 | 84,18 | 87,00  | 6:24  | 84,18 | 87,00  | 6:35 | 81,06 | 82,00  | 5:33 |
| DVMCP           | 89,24 | 87,67  | 15:43 | 84,29 | 86,67  | 6:40  | 88,76 | 90,00  | 6:57 | 86,59 | 90,33  | 6:54 |
| DVMP            | 86,35 | 90,33  | 20:33 | 88,67 | 83,41  | 8:37  | 85,82 | 89,33  | 8:58 | 87,53 | 89,00  | 4:26 |
| DVMAP           | 86,12 | 89,67  | 21:33 | 86,12 | 87,67  | 10:07 | 85,76 | 88,33  | 8:30 | 83,88 | 85,00  | 4:42 |

| Validação do Classificador | in-sample(%) | out-sample(%) | time  |
|----------------------------|--------------|---------------|-------|
|                            | 86,35        | 89,00         | 23:48 |

No geral os resultados obtidos com a aplicação dos poolings exóticos são inferiores aos obtidos com poolings clássicos. No entanto, existem 2 resultados que superam os anteriormente vistos, nomeadamente a conjugação do filtro Diagonal and Vertical Max Pooling com a janela 2x2 e do filtro Diagonal and Vertical Max Centered Pooling com a janela 3x3. Embora ambos tenham um resultado de out-sample igual, o segundo pooling referido oferece 2 vantagens face ao primeiro. Além de possuir um underfitting ligeiramente inferior é pelo menos três vezes mais rápido a executar fazendo deste a escolha óbvia como o melhor modelo dos dois.

Comparando todos os resultados obtidos durante os testes podemos concluir que o melhor modelo se trata daquele resultante da aplicação do filtro "Min" à janela 3x3 por se tratar do mais rápido com menor underfitting e melhor valor preditivo. Adicionalmente podemos concluir que cerca de 9-10% desta base de dados não é linearmente separável, totalizando cerca de 27-30 imagens do dataset de treino as quais o nosso melhor modelo não consegue separar.

Adicionalmente procurou-se saber qual a janela mínima a utilizar para se verificar uma perda total de informação útil para além de ruído. Verificou-se que a perda de informação útil se começa a dar a partir da janela de dimensões 6x5 com strides 5 em x e 4 em y.

O cenário onde se verificou a perda total de informação útil deu-se quando se utilizou uma janela de tamanho 10x9 com strides 9 em x e 8 em y, resultando em imagens de 9 pixels quase impossíveis de se distinguirem como se pode verificar na matriz de confusão obtida.

```
in-samples error=5.786265
[[505. 338.]
 [ 18. 839.]]
Acc: 0.7905882352941176

out-samples error=5.157794
[[107. 50.]
 [ 6. 137.]]
Acc: 0.8133333333333334
```

(a) Tabelas de confusão da janela 6x5

```
in-samples error=13.084102
[[765. 78.]
 [727. 130.]]
Acc: 0.5264705882352941

out-samples error=12.526064
[[140. 17.]
 [119. 24.]]
Acc: 0.5466666666666666
```

(b) Tabelas de confusão da janela 10x9



## Referências

1. Ian Goodfellow, Yoshua Bengio and Aaron Courville. *Deep Learning*. MIT Press, 2016.
2. Kevin P. Murphy. *Machine Learning: A Probabilistic Perspective*. MIT Press, 2012.
3. Trevor Hastie, Robert Tibshirani and Jerome Friedman. *The Elements of Statistical Learning Data Mining, Inference, and Prediction*. Springer, Janeiro 13 de 2017.
4. John D. Keller, Brian Mac Namee and Aoife D'Arcy. *Fundamentals of Machine Learning For Predictive Data Analytics*. MIT Press, 2015.
5. Mehryar Mohri, Afshin Rostamizadeh and Ameet Talwalkar. *Foundations of Machine Learning*. MIT Press, 2018.
6. Josh Hugh Learning. *Python Machine Learning*. JHL.
7. Charu C. Aggarwal. *Linear Algebra and Optimization for Machine Learning*. Springer, 2020.
8. Ivan Vasilev, Daniel Slater, Gianmario Spacagna, Peter Roelants and Valentino Zocca. *Python Deep Learning*. Packt, 2019.
9. Nathalie Japkowicz. *Evaluating Learning Algorithms: A Classification Perspective*. cambridge university press, 2011.